

# Algorithmen für Routenplanung

4. Termin, Sommersemester 2012

Daniel Delling | 7. Mai 2012

INSTITUT FÜR THEORETISCHE INFORMATIK · ALGORITHMIK I · PROF. DR. DOROTHEA WAGNER



## A\*-Algorithmus

- Benutze Potentialfunktion  $\pi : V \rightarrow \mathbb{R}$  mit

$$\text{len}(u, v) - \pi(u) + \pi(v) \geq 0 \quad \forall (u, v) \in E$$

- Keys in der Priority-Queue sind  $d[u] + \pi(u)$  für alle  $u \in V$
- Wenn  $\pi(t) = 0$ , dann  $\pi(u) \leq d(u, t)$
- Je besser untere Schranke für  $d(u, t)$  desto besser die Zielrichtung

## A\* $\leftrightarrow$ Dijkstra

- Definiere  $G_\pi = (V, E, \text{len}_\pi)$  mit

$$\text{len}_\pi(u, v) := \text{len}(u, v) - \pi(u) + \pi(v)$$

- Dann: Dijkstra auf  $G_\pi$  entspricht A\* auf  $G$

**Frage:** Was ist eine gute Potentialfunktion für A\*?

**Idee:** Benutze Landmarken und die Dreiecksungleichung

**Vorbereitung:**

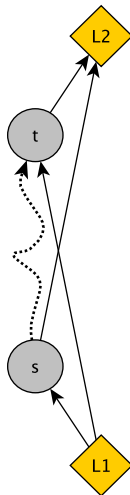
- Wähle  $L \subseteq V$  ( $L \approx 16$ ) Landmarken
- Berechne Distanz von und zu allen Landmarken

**Anfrage:**

- Benutze

$$\pi(u) := \max_{\ell \in L} \{ \max\{d(\ell, t) - d(\ell, u), d(u, \ell) - d(t, \ell)\} \}$$

als gültiges Potential



Der Suchraum von Dijkstra's Algorithmus

$$V_d(s, t) = \{v \in V \mid \text{dist}(s, v) \leq \text{dist}(s, t)\}$$

ist ein graphentheoretischer Kreis.

Der Suchraum von ALT ist

$$V^L(s, t) \subseteq \{v \in V \mid \text{dist}(s, v) + \pi^L(v) \leq \text{dist}(s, t)\}$$

mit Potentialen

$$\pi_t^{l+}(u) = d(l, t) - d(l, u)$$

$$\pi_t^{l-}(u) = d(u, l) - d(t, l)$$

Wir betrachten jedes  $l \in L$  einzeln

$$V_{l+}(s, t) = \{v \in V \mid \text{dist}(s, v) + \text{dist}(v, l) \leq \text{dist}(s, t) + \text{dist}(t, l)\}$$

$$V_{l-}(s, t) = \{v \in V \mid \text{dist}(s, v) - \text{dist}(l, v) \leq \text{dist}(s, t) - \text{dist}(l, t)\}$$

$$V_{I^+}(s, t) = \{v \in V \mid \text{dist}(s, v) + \text{dist}(v, I) \leq \text{dist}(s, t) + \text{dist}(t, I)\}$$

ist eine graphentheoretische Ellipse.

$$V_{I^-}(s, t) = \{v \in V \mid \text{dist}(s, v) - \text{dist}(I, v) \leq \text{dist}(s, t) - \text{dist}(I, t)\}$$

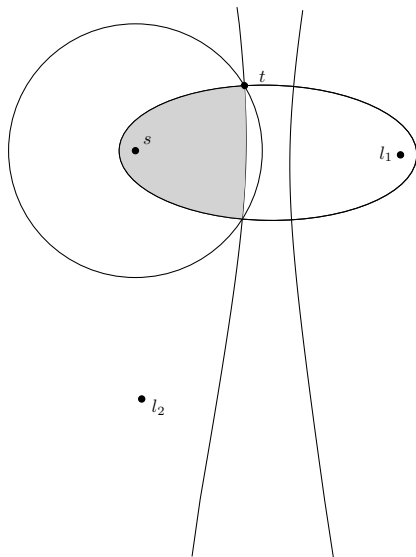
ist eine graphentheoretische Hyperbel.

Der Suchraum

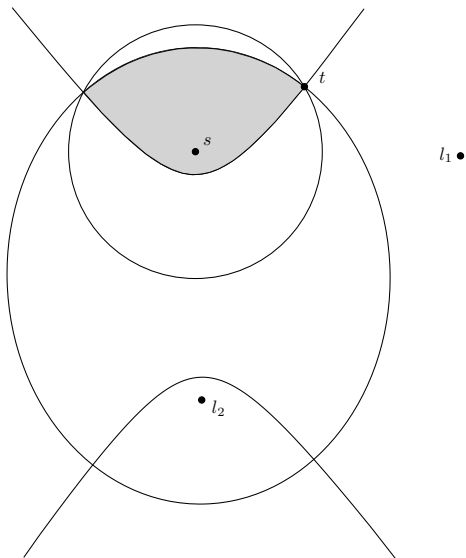
$$V^L(s, t) \subseteq \{v \in V \mid \text{dist}(s, v) + \pi^L(v) \leq \text{dist}(s, t)\}$$

ist die Schnittmenge aus den Ellipsen und Hyperbeln über alle Landmarken in  $L$ .

# Eine Intuition für den ALT-Suchraum

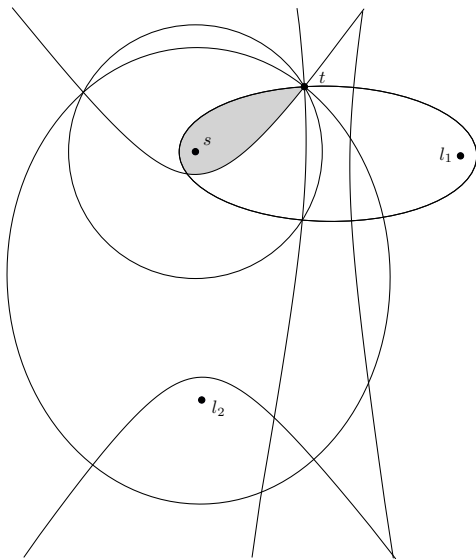


# Eine Intuition für den ALT-Suchraum





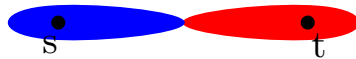
# Eine Intuition für den ALT-Suchraum



# Bidirektionaler A\*



# Bidirektionaler A\*



## Erster Ansatz:

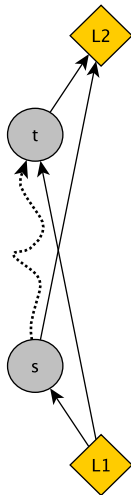
- benutze Vorwärtspot  $\pi_f$  und Rückwärtspot  $\pi_b$

$$\pi_f(u) = \max_{\ell \in L} \{ \max \{ d(\ell, t) - d(\ell, u), d(u, \ell) - d(t, \ell) \} \}$$

$$\pi_b(u) = \max_{\ell \in L} \{ \max \{ d(\ell, u) - d(\ell, s), d(s, \ell) - d(u, \ell) \} \}$$

## Problem:

- Suchen operieren auf unterschiedlichen Längenfunktionen
- konservatives Abbruchkriterium:
  - stoppe erst, wenn  $\minKey(\vec{Q}) > \mu$  oder  $\minKey(\overleftarrow{Q}) > \mu$



## Zweiter Ansatz:

- Wann operieren Suchen auf dem gleichen Graphen?
- wenn

$$\begin{aligned}\text{len}_{\pi_r}(v, u) &= \text{len}_{\pi_f}(u, v) \\ \text{len}(u, v) - \pi_r(v) + \pi_r(u) &= \text{len}(u, v) - \pi_f(u) + \pi_f(v) \\ -\pi_r(v) + \pi_r(u) &= -\pi_f(u) + \pi_f(v)\end{aligned}$$

- $\pi_r + \pi_f \equiv \text{const.}$

## Idee:

- nehme Kombination aus  $\pi_f$  und  $\pi_r$

$$p_f = \frac{\pi_f - \pi_r}{2} \quad p_r = \frac{\pi_r - \pi_f}{2} = -p_f$$

## Somit

- wie bidirektionaler Dijkstra
- aber mit  $d(s, u) + p_f(u)$  und  $d(v, t) + p_r(v)$  als keys
- stoppe wenn  $\minKey(\vec{Q}) + \minKey(\overleftarrow{Q}) > \mu_{p_f} = \mu + p_f(s) - p_f(t)$
- dadurch bidirektional zielgerichtet

- **A\***, Landmarken, Triangle inequality (Dreiecksungleich)
- bidirektionaler Landmarken-A\*(2. Ansatz)
- aktive Landmarken
- pruning
- meist 16 Landmarken
- meist avoid oder maxCover Landmarken

## Eingaben:

- Straßennetzwerke
  - Europa: 18 Mio. Knoten, 42 Mio. Kanten
  - USA: 22 Mio. Knoten, 56 Mio. Kanten

## Evaluation:

- Vorberechnung in Minuten und zusätzliche Bytes pro Knoten
- durchschnittlicher Suchraum (#abgearbeitete Knoten) und Suchzeiten (in *ms*) von 10 000 Zufallsanfragen



# Zufallsanfragen ALT

	algorithm	PREPRO		QUERY UNIDIR.			QUERY BIDIR.		
		time [min]	space [B/n]	# settled nodes	time [ms]	spd up	# settled nodes	time [ms]	spd up
<b>EUR</b>	DIJKSTRA	0	0	9 114 385	5 591.6	1.0	4 764 110	2 713.2	2.1
	ALT-4	12.1	32	1 289 070	469.1	11.9	355 442	254.1	22.0
	ALT-8	26.1	64	1 019 843	391.6	14.3	163 776	127.8	43.8
	ALT-16	85.1	128	815 639	327.6	17.1	74 669	53.6	104.3
	ALT-24	145.2	192	742 958	303.7	18.4	56 338	44.2	126.5
	ALT-32	27.1	256	683 566	301.4	18.6	40 945	29.4	190.2
	ALT-64	68.2	512	604 968	288.5	19.4	25 324	19.6	285.3
<b>USA</b>	DIJKSTRA	0	0	11 847 523	6 780.7	1.0	7 345 846	3 751.4	1.8
	ALT-8	44.5	64	922 897	329.8	20.6	328 140	219.6	30.9
	ALT-16	103.2	128	762 390	308.6	22.0	180 804	129.3	52.4
	ALT-32	35.8	256	628 841	291.6	23.3	109 727	79.5	85.3
	ALT-64	92.9	512	520 710	268.8	25.2	68 861	48.9	138.7

- bidirektionale Suche: Beschleunigung von 2
- unidirektionaler ALT: mehr als 16 Landmarken nicht sinnvoll
- bidirektionaler ALT: verdoppelung der Landmarken halbiert den Suchraum (ungefähr)
- 16 Landmarken: Beschleunigung  $\approx 100$  für Europa
- 64 Landmarken: Beschleunigung  $\approx 300$  für Europa
- hoher Speicherverbrauch (Graph-DS: 424 MB, pro Landmarke: 144 MB, Europa)
- USA schlechter als Europa (Vermutung: schlechtere Hierarchie)

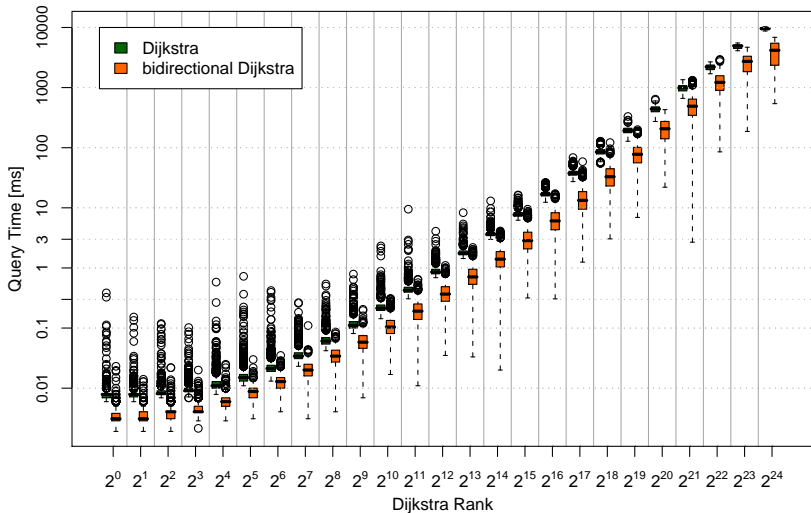
## Problem:

- Zufallsanfragen geben wenig Informationen
- Wie ist die Varianz?
- Werden nahe oder ferne Anfragen beschleunigt?

## Idee:

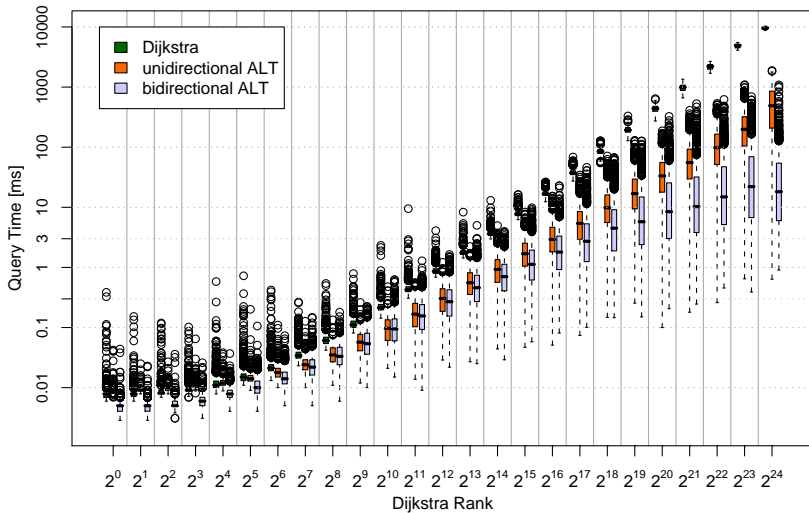
- DIJKSTRA definiert für gegebenen Startknoten Ordnung für auf den Knoten
- DIJKSTRA-Rang  $r_s(u)$  eines Knoten  $u$  für gegebenes  $s$
- wähle 1000 Startknoten und analysiere jeweils die Suchzeiten um die Knoten mit Rang  $2^1, \dots, 2^{\log n}$  zu finden
- zeichne Plot

# Lokale Anfragen Bidirektionale Suche



- Ausreißer bei nahen Anfragen (vor allem unidirektional)
- Beschleunigung unabhängig vom Rang (immer ca. Faktor 2)
- Varianz etwas höher als bei unidirektionaler Suche
- manche Anfragen sehr schnell

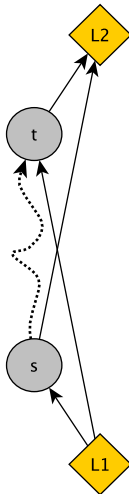
# Lokale Anfragen ALT



- Beschleunigung steigt mit Rang
- kaum Beschleunigung für nahe Anfragen
- hohe Varianz für ALT
- Ausreißer bis zu Faktor 100 langsamer als Median

# Zusammenfassung ALT

- Zielgerichtet durch geänderte Reihenfolge, wie Knoten abgearbeitet werden
- wird erreicht durch hinzufügen eines Knotenpotentials  $\pi$
- korrekt wenn  $\text{len}(u, v) - \pi(u) + \pi(v) \geq 0$  für alle Kanten
- Potentiale durch Landmarken
- kann bidirektional gemacht werden
- Beschleunigung von bis zu 300 gegenüber Dijkstra
- aber hoher Platzverbrauch (Reduktion später)
- hohe Varianz (manche Anfragen haben keine guten Landmarken)





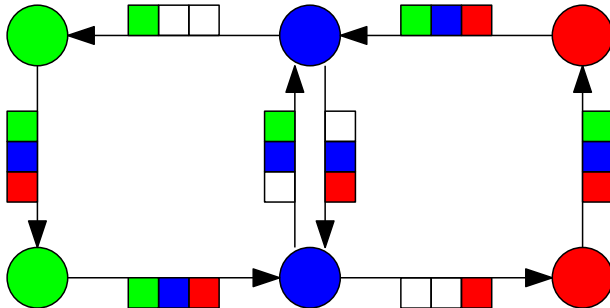
## Wie Suche zielgerichtet machen?

- Nichtbeachten von Kanten oder Knoten die in die “falsche” Richtung führen
- Reihenfolge in der Knoten besucht werden ändern

**Jetzt:** ersteres

## Idee:

- partitioniere Graphen in  $k$  Zellen
- hänge Label mit  $k$  Bits an jede Kante
- gibt an, ob  $e$  für Ziele in Zielzelle  $T$  benötigt wird



---

ARC-FLAG-DIJKSTRA( $G = (V, E)$ ,  $s$ ,  $t$ , Arc-Flags AF.(·))

---

```
1  $d[s] = 0$ 
2  $Q.clear()$ ,  $Q.add(s, 0)$ 
3 while ! $Q.empty()$  do
4    $u \leftarrow Q.deleteMin()$ 
5   forall edges  $e = (u, v) \in E$  do
6     if  $d[u] + \text{len}(e) < d[v]$  and  $AF_T(e) = \text{true}$  then
7        $d[v] \leftarrow d[u] + \text{len}(e)$ 
8       if  $v \in Q$  then  $Q.decreaseKey(v, d[v])$ 
9       else  $Q.insert(v, d[v])$ 
```

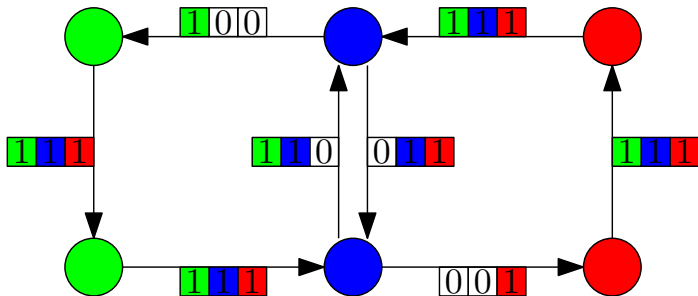
---

## Zwei Schritte:

- Partitionierung
- setze korrekte Flaggen

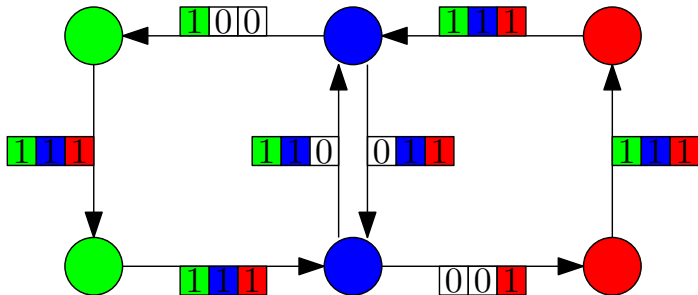
# Flaggenberechnung: Erster Versuch

- von jedem Knoten
- konstruiere Rückwärts KW-Baum
- setze Flagge der Region der Wurzel für jede Baumkante
- APSP



**Beobachtung:** Man muss durch Randknoten in die Zelle

- setze Intra-Zellen Kanten auf `true`
- einen Rückwärts Dijkstra-Baum pro Randknoten  $b$
- setze Flagge  $AF_{region(b)}(e) = \text{true}$  wenn  $e$  Baumkante des Baums von  $b$  ist



## verallgemeinere Dijkstra:

- für jede Region  $r$  (mit Randknotenmenge  $B_r$ )
- hänge Label  $l(u)$  der Größe  $|B_r|$  an jeden Knoten  $u$
- speichert den Abstand  $d(u, b)$  für alle  $b \in B_r$
- triviale Initialisierung der Randknoten, füge alle in Queue ein
- nehme Knoten  $u$  aus der Queue (key:  $\min\{l(u)\}$ )
- relaxiere Kanten  $(u, v)$ :
  - erzeuge Label  $l$  durch  $l(u) + \text{len}(u, v)$
  - checke ob  $l$  das Label  $l(v)$  verbessert
- breche ab, wenn keine Verbesserungen mehr möglich sind
- setze Flagge auf `true` wenn  $d(u, b) + \text{len}(u, v) = d(v, b)$  gilt

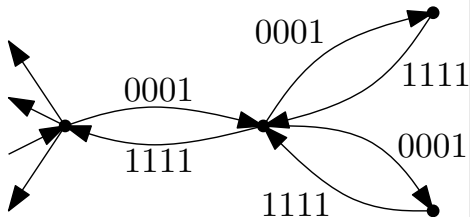
## Bemerkungen:

- Knoten können mehrfach besucht werden (label-correcting)
- Prioritäten der Knoten beliebig wählbar
  - z.B. Minimum über alle Einträge von  $u$  oder auch nur der vorläufigen
  - hängt von Eingabe ab
- hoher Speicherverbrauch durch  $n$  Label der Größe  $|B_r|$ 
  - 18 Mio. Knoten und 1000 Randknoten  $\Rightarrow$  72 GB
  - teile Arbeit in mehrere Schritte mit maximal 100 Randknoten
  - meist Beschleunigung um Faktor 4 gegenüber Randknotenansatz



## Beobachtung:

- Für manche Kanten kann man die Flaggen automatisch setzen



## Angehängene Bäume:

- Kanten zur Wurzel hin haben alle Flaggen gesetzt
- Kanten von Wurzel weg haben nur eine Flagge gesetzt
- also können die Bäume vor der Vorberechnung vom Graphen entfernt werden
- Knotenzahl verringert sich um 1 Drittel

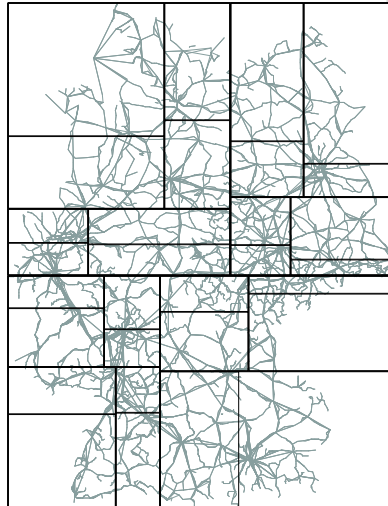
## Anforderungen:

- balanciert

## mögliche Partitionen:

- Gitter
- Quad-Baum
  - iterativ in 4 Zellen unterteilen
- kd-Baum
  - Verallgemeinerung von Quad-Baum

## weitere Anforderungen?

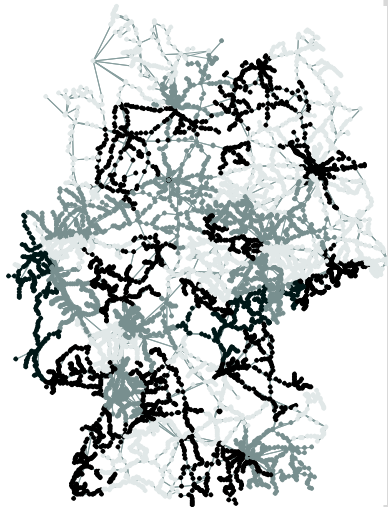


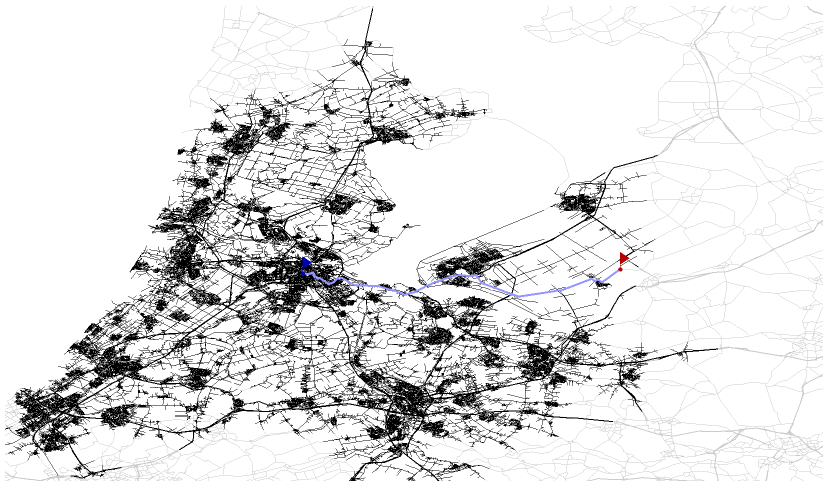
## Anforderungen:

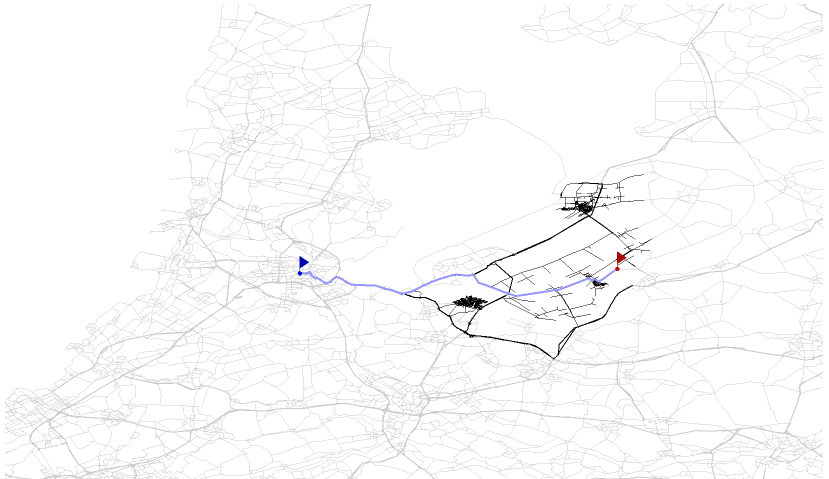
- ausbalanciert
- wenige Randknoten
- zusammenhängend

## Black-Box Partitionierer:

- benutzen keine Einbettung
- oft: teilen rekursiv Graphen in  $k$  Teile mit kleinem Schnitt
- bringen gute Lösungen für Arc-Flags







## Vorteile:

- einfacher Anfrage Algorithmus
- leicht on-top auf bestehende Systeme zu setzen
- ausreichende Beschleunigung

## Nachteile:

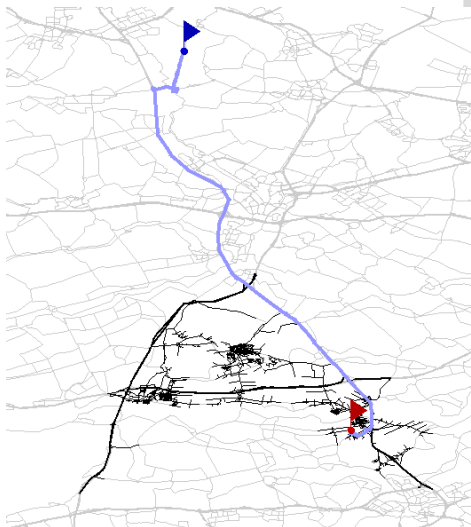
- hohe Vorberechnungsdauer
- weitere?

## Beobachtung:

- lange Zeit nur eine Kante wichtig
- daher immer nur ein Knoten in der Queue
- aber: je näher an der Zelle, desto mehr Kanten werden wichtig
- Suche fächert sich auf
- in Zelle werden dann alle Kanten relaxiert

## Zwei Ansätze:

- bidirektionale Flags
- multi-level Flags



## Vorbereitung:

- Vorwärts- und Rückwärtsflaggen
- Rückwärtsflaggen können analog für eingehende Kanten berechnet werden
- Vorbereitungszeit in gerichteten Graphen erhöht sich um Faktor 2

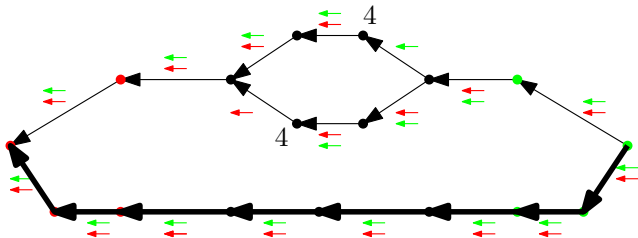
## Anfrage:

- bidirektional:
  - Vorwärtssuche relaxiert nur Kanten mit Flagge für  $T$
  - Rückwärtssuche nur Kanten mit Flaggen für  $S$
- normales Stopp-Kriterium von bidirektionalem Dijkstra



## Problem:

- Eindeutigkeit der Wege
- eventuell nicht korrekt



## Lösung:

- kommt in Straßengraphen kaum vor
- daher öffne Flaggen für alle möglichen Wege

## Literatur (Arc-Flags):

- Moritz Hilger and Ekkehard Köhler and Rolf H. Möhring and Heiko Schilling:

### **Fast Point-to-Point Shortest Path Computations with Arc-Flags**

In: *Shortest Paths: Ninth DIMACS Implementation Challenge, 2009*

## Literatur (ALT):

- Andrew Goldberg, Georg Harrelson, SODA 2005
- Andrew Goldberg, Renato Werneck, ALENEX 2005

## Mittwoch, 9.5.2012

Montag, 14.5.2012

Mittwoch, 16.5.2012